

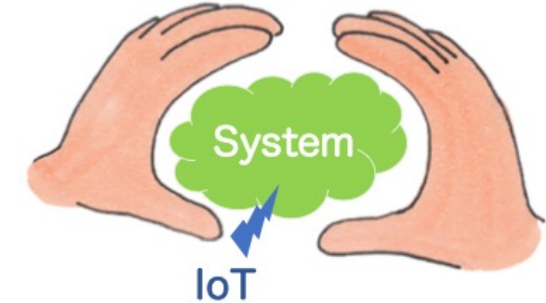
多次元データのオンライン要約 とその応用に向けて

山本 泰生

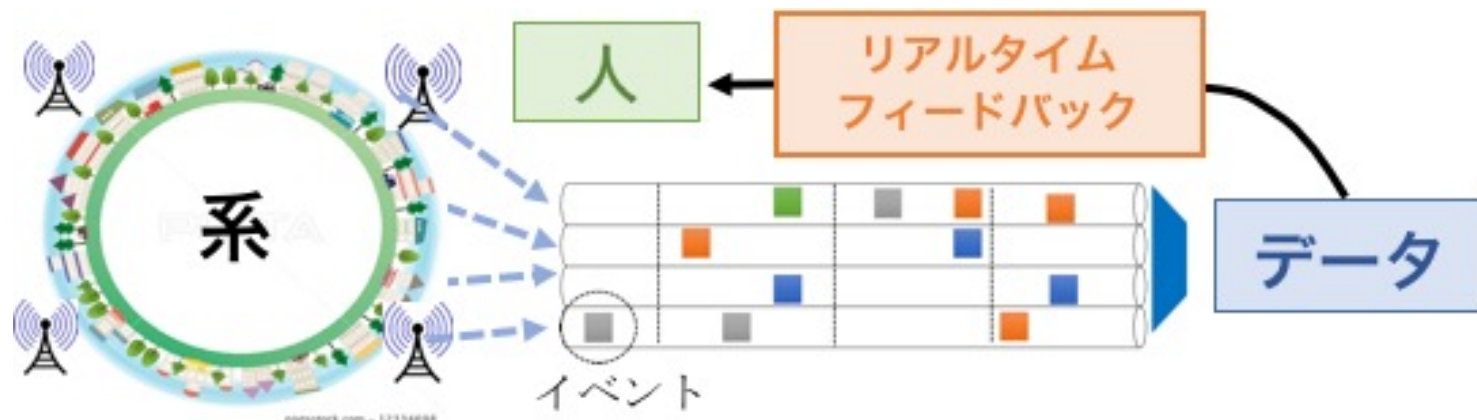
静岡大学情報学部・理研AIPセンター

木曽シユミットシンポジウム2019
2019年7月10日

なぜここに?



- 自己紹介
 - 専門: 人工知能, データマイニング, ビッグデータ処理
 - ストリーム型ビッグデータのオンラインデータマイニング
JST さきがけ研究 (ビッグデータ基盤領域 2014年-2018年)
- データ駆動型の観測発見の研究
 - 系のデータから「面白そうな」観測をいち早く見つける



発表の流れ

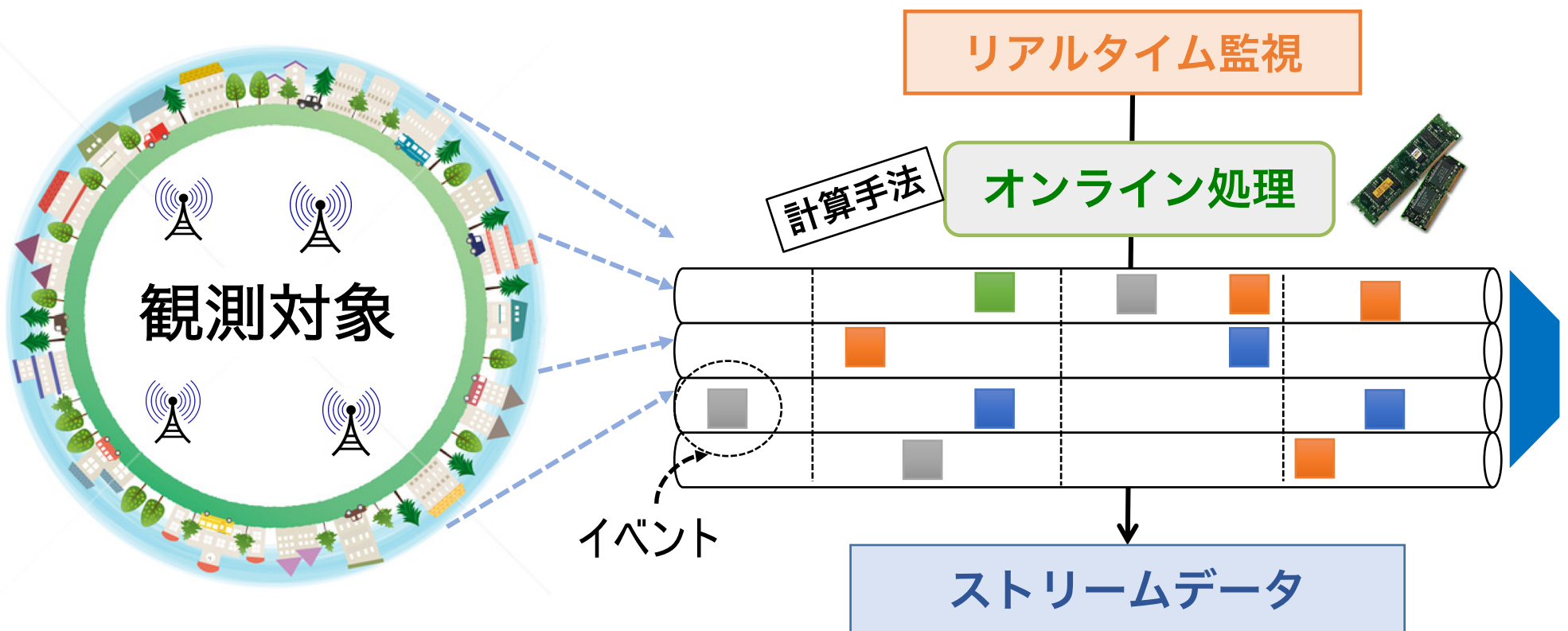
- ストリームデータの要約 (サマリ) 法について
 - サマリとは
 - 確率的メンバーシップサマリ
 - 予備実験
- まとめ



ストリームデータの研究

- ・ストリームデータとは？

- 高速に流れ続ける無限長のデータ列
- センサーノードから常時到着する観測データ
- 観測対象のリアルタイム分析 (傾向の変化や異常の検出)



ストリームデータの要約 (サマリ)

- 順序関係に基づくストリームデータのモデリング
 - 解析対象のイベントの全体集合: E
 - E 上の順序関係: \leq
 - ストリームデータ: $V_n = \langle e_1, e_2, \dots, e_n \rangle$ ただし $e_i \in E$
 - イベント e のサポート: $e_i \leq e$ を満たす V_n 中の e_i の個数

- ストリームデータのサマリ S_n
 - 任意のイベント e に対し, e の出現回数を与えるデータ構造

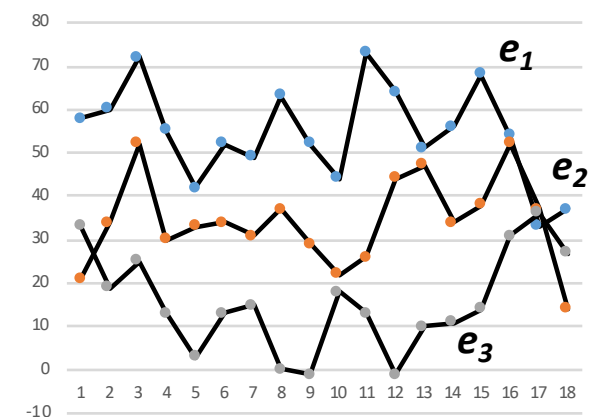
例. 気象データ

V_3	気温	降水量	風速	風向	日照
e_1	14	0	3	0	10
e_2	11	10	1	0	5
e_3	19	0	2	1	14

例. 有向グラフデータ

e_1	e_2	e_3
<pre>graph TD; 1 --> 2; 1 --> 3;</pre>	<pre>graph TD; 1 --> 2; 2 --> 3;</pre>	<pre>graph TD; 1 --> 3; 2 --> 3;</pre>

例. 時系列データ



ストリームデータの要約 (サマリ)

- 順序関係に基づくストリームデータのモデリング
 - 解析対象のイベントの全体集合: E
 - E 上の順序関係: \leq
 - ストリームデータ: $V_n = \langle e_1, e_2, \dots, e_n \rangle$ ただし $e_i \in E$
 - イベント e のサポート: $e_i \leq e$ を満たす V_n 中の e_i の個数

- ストリームデータのサマリ S_n
 - 任意のイベント e に対し, e の出現回数を与えるデータ構造

例. 気象データ (関係データベース)

V_3	気温	降水量	風速	風向	日照
e_1	14	0	3	0	10
e_2	11	10	1	0	5
e_3	19	0	2	1	14

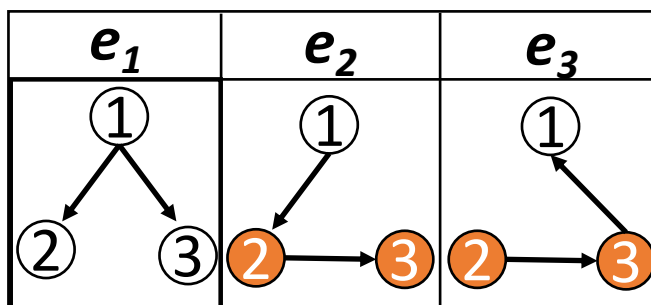


ストリームデータの要約 (サマリ)

- 順序関係に基づくストリームデータのモデリング
 - 解析対象のイベントの全体集合: E
 - E 上の順序関係: \leq
 - ストリームデータ: $V_n = \langle e_1, e_2, \dots, e_n \rangle$ ただし $e_i \in E$
 - イベント e のサポート: $e_i \leq e$ を満たす V_n 中の e_i の個数

- ストリームデータのサマリ S_n
 - 任意のイベント e に対し, e の出現回数を与えるデータ構造

例. 有向グラフデータ



クエリ (質問)

部分グラフ $\textcircled{2} \rightarrow \textcircled{3}$
を含むイベント数は?



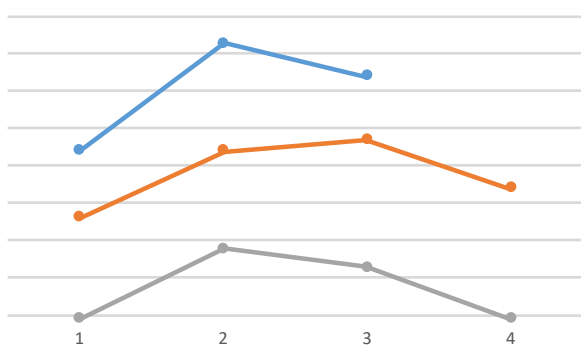
出現回数



ストリームデータの要約 (サマリ)

- 順序関係に基づくストリームデータのモデリング
 - 解析対象のイベントの全体集合: E
 - E 上の順序関係: \leq
 - ストリームデータ: $V_n = \langle e_1, e_2, \dots, e_n \rangle$ ただし $e_i \in E$
 - イベント e のサポート: $e_i \leq e$ を満たす V_n 中の e_i の個数
- ストリームデータのサマリ S_n
 - 任意のイベント e に対し, e の出現回数を与えるデータ構造

例. 時系列データ



クエリ (質問)

10 ~ 20 上昇した後, 5 ~ 10 だけ減少する波形を含むイベント数は?

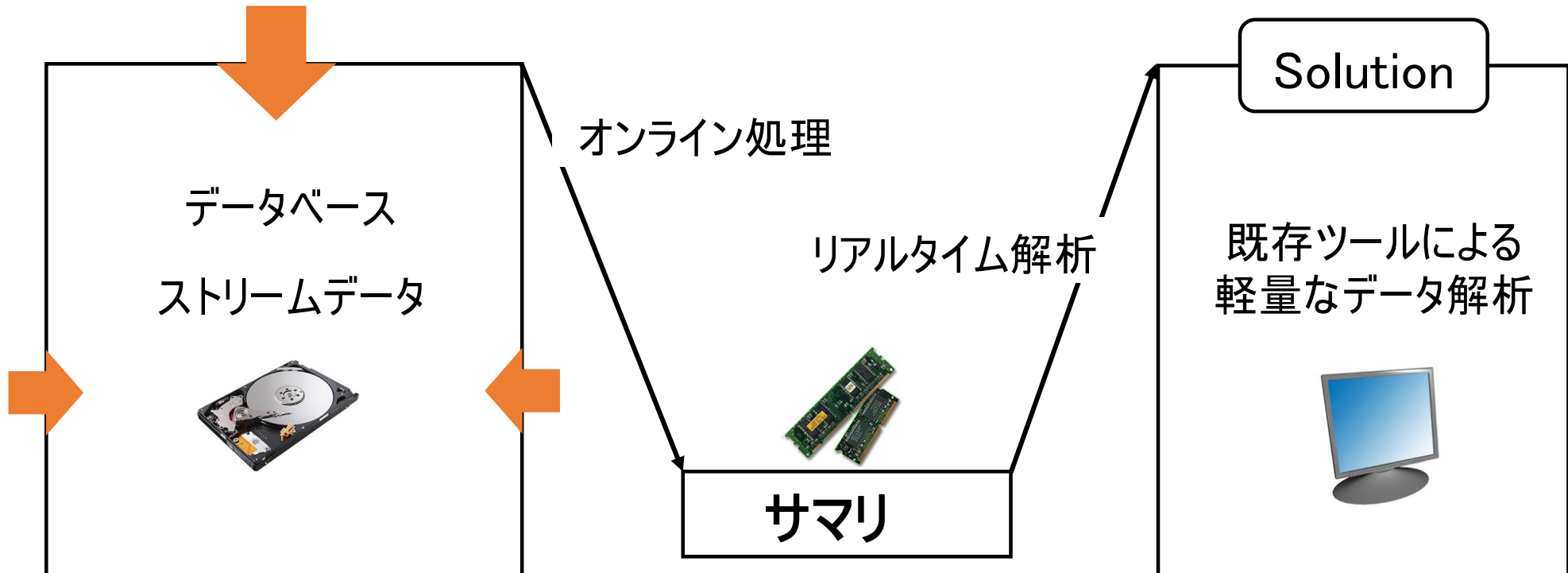


サマリ構築のインパクト

Point

以下の3つの条件を満たす サマリ を構築する

- (1) 一度きりのデータスキャン;
- (2) メモリ内に保持できる;
- (3) 見積値の誤差保証ができる！



サマリの位置付け

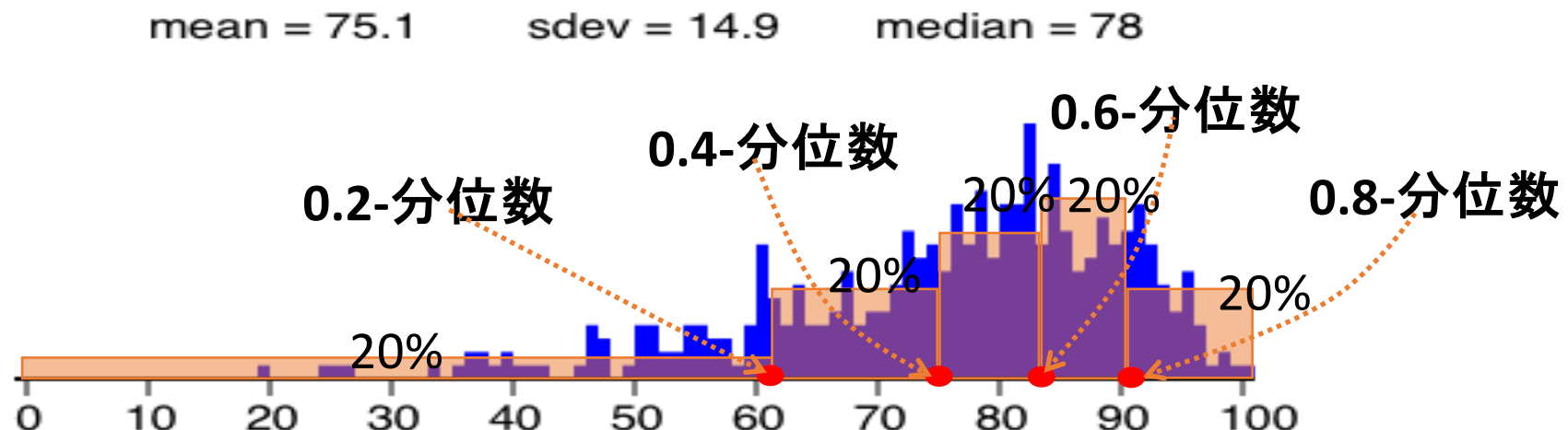
- 出現分布を特徴づけるノンパラメトリックなデータ表現

1次元データ(実数列)の場合: 分位数サマリ

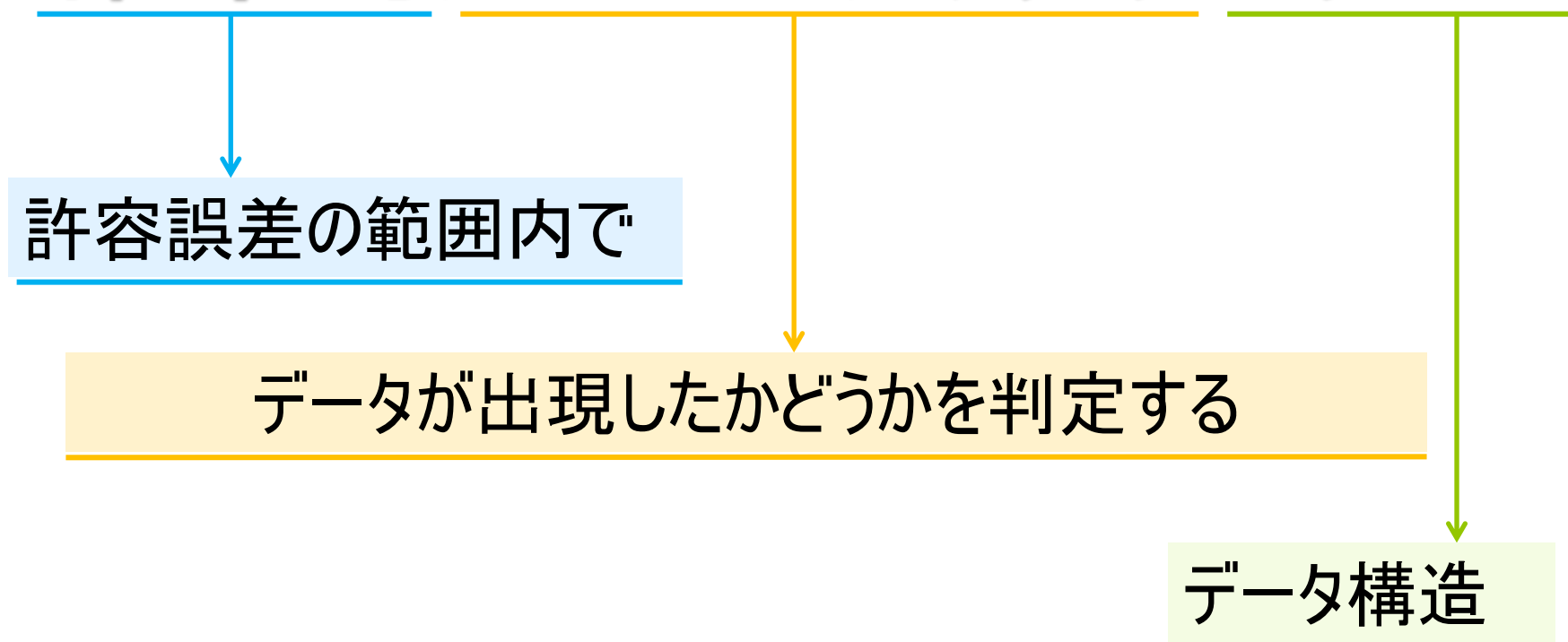
- 統計検定(例. Q-Qプロット, Kolmogorov-Smirnov 検定)
- R, Excel, Google's Log Analysis のパッケージとして配布
- 劣線形アルゴリズムの研究が2000年頃から活発

多次元データ: 半順序データのサマリ

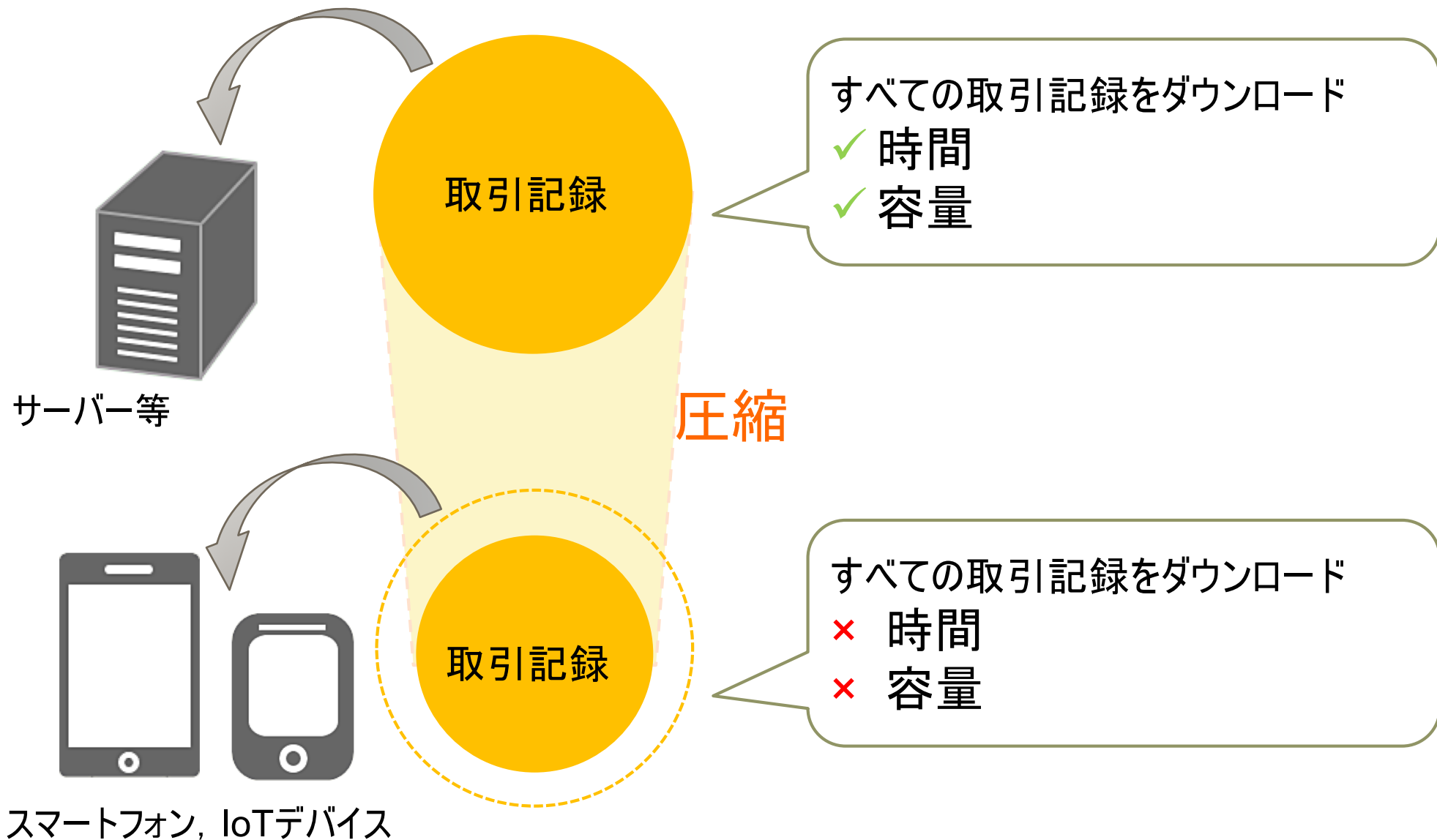
等深(Equi-depth)ヒストグラム: 4分位数の例



確率的メンバーシップサマリ



ビットコインの運用

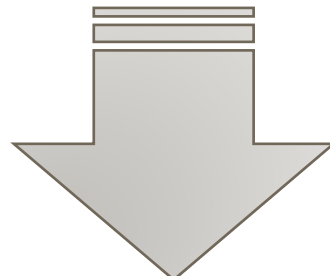


ビットコインでの使用例

すべての取引記録をダウンロードせずに取引検証を行いたい

- 二重支払い
- トランザクションがどのブロックに格納されているか

SPV (Simplified Payment Verification) : 簡単な取引検証
→取引記録の一部のみダウンロードする



ブルームフィルターを用いることで実現

ブルームフィルター

確率的メンバーシップサマリの代表例

1970年にバートン・ブルーム (Burton H. Bloom) が考案

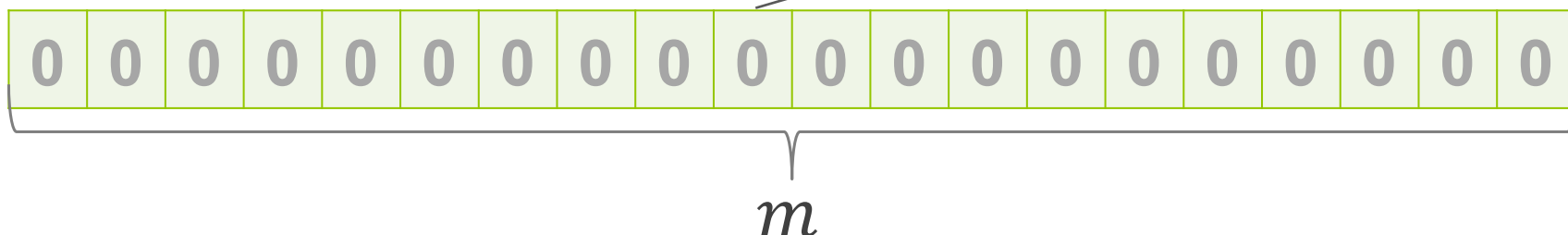
特徴

- k 個のハッシュ関数と、 m ビットのメモリを使用する
- 探索の際の計算量が優れている → $O(k)$
- **偽陽性**によるデータの誤判定の可能性がある



h_1, h_2, h_3

空のブルームフィルターは、
0で初期化される



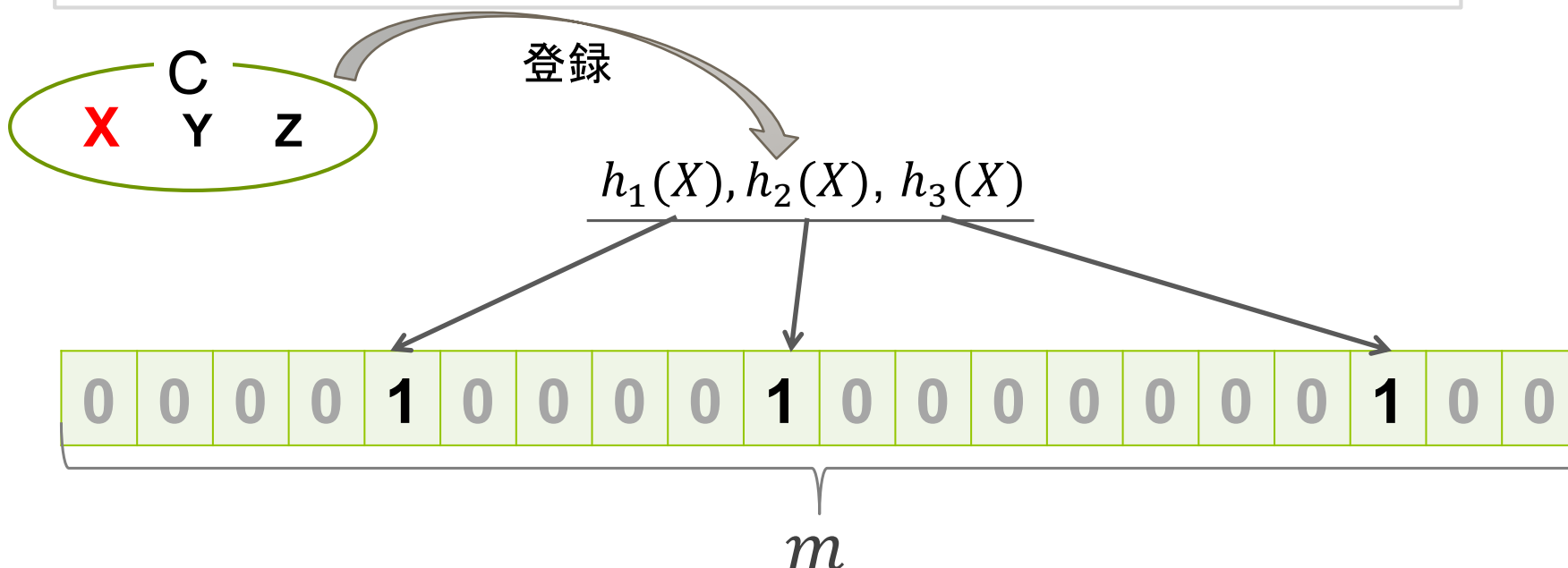
ブルームフィルター

確率的メンバーシップサマリの代表例

1970年にバートン・ブルーム(Burton H. Bloom)が考案

特徴

- k 個のハッシュ関数と、 m ビットのメモリを使用する
- 探索の際の計算量が優れている → $O(k)$
- **偽陽性**によるデータの誤判定の可能性がある



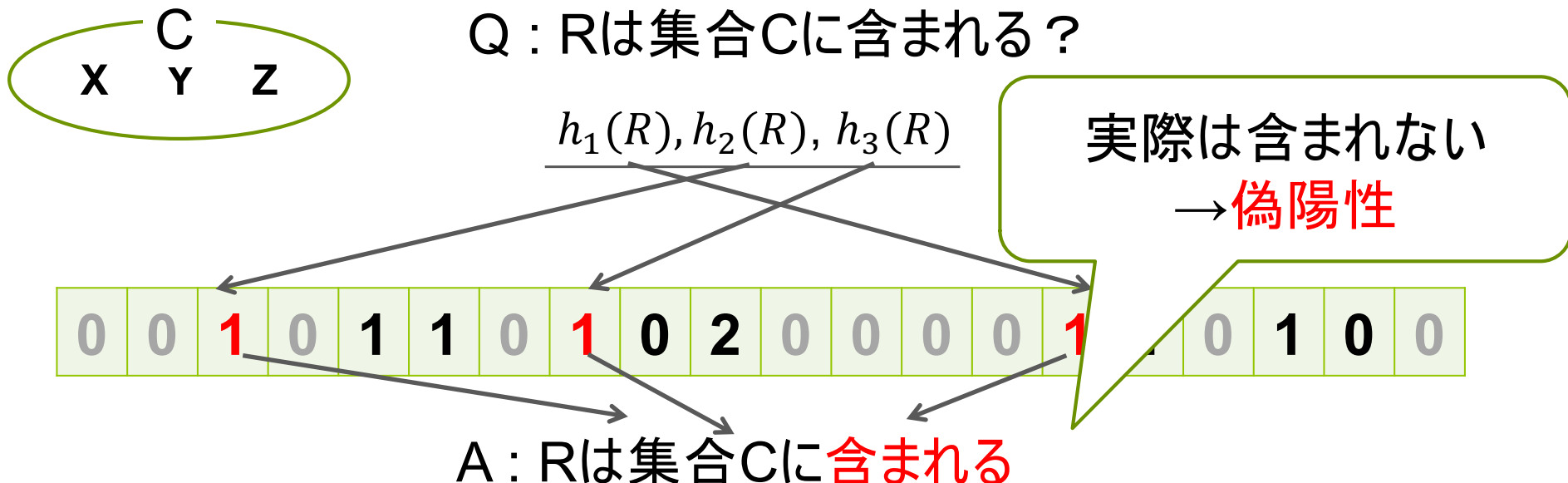
ブルームフィルター

確率的メンバーシップサマリの代表例

1970年にバートン・ブルーム(Burton H. Bloom)が考案

特徴

- k 個のハッシュ関数と、 m ビットのメモリを使用する
- 探索の際の計算量が優れている → $O(k)$
- **偽陽性**によるデータの誤判定の可能性がある



ブルームフィルターの偽陽性率

確率的メンバーシップサマリの代表例

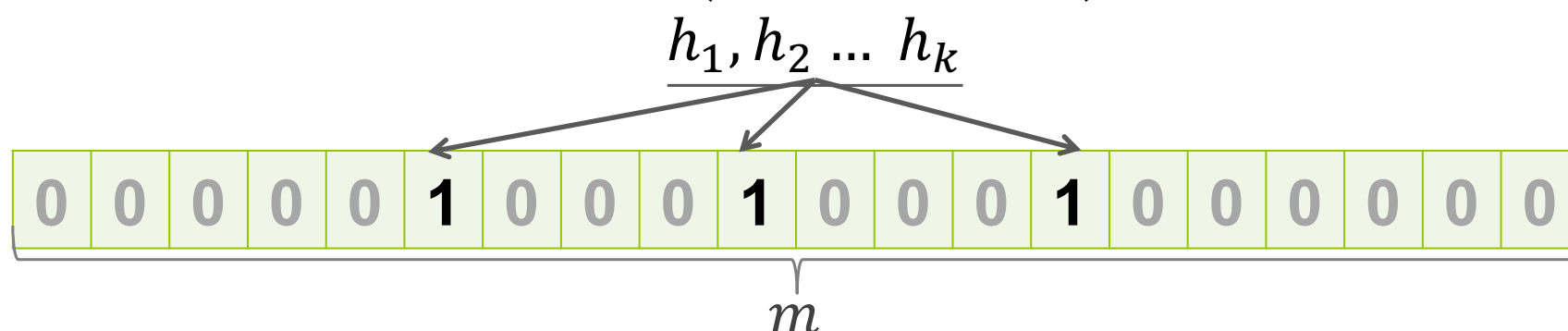
1970年にバートン・ブルーム(Burton H. Bloom)が考案

特徴

- k 個のハッシュ関数と、 m ビットのメモリを使用する
- 探索の際の計算量が優れている→ $O(k)$
- **偽陽性**によるデータの誤判定の可能性がある

n 個の要素を追加した状態で1である確率は $1 - \left(1 - \frac{1}{m}\right)^{kn}$

偽陽性となる確率の上界は $\left(1 - \left(1 - \frac{1}{m}\right)^{kn}\right)^k \approx \left(1 - e^{\frac{-kn}{m}}\right)^k$



ブルームフィルターの偽陽性率

確率的メンバーシップサマリの代表例

1970年に

特徴

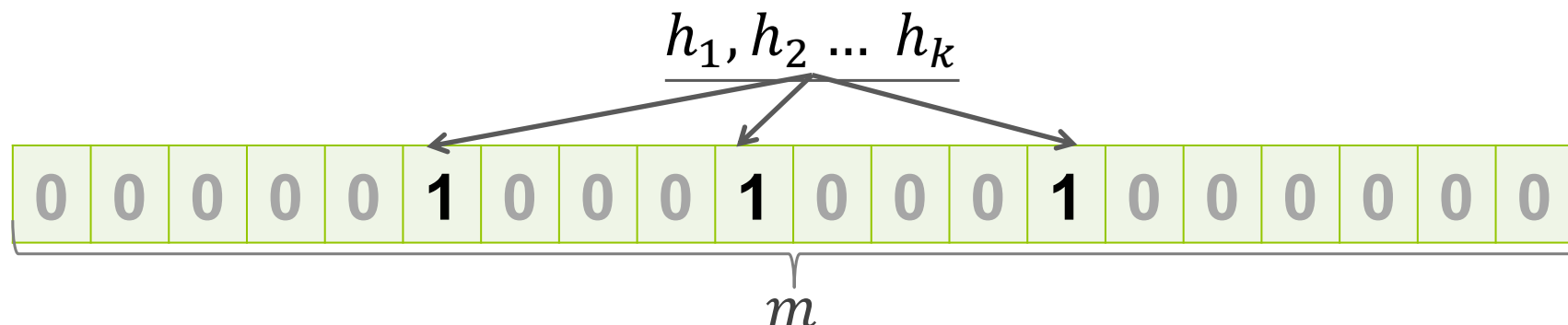
- k 個のハッシュ関数
- 探索の高速化
- **偽陽性**

偽陽性率を小さくするためには

データ数 < ハッシュサイズ
を満たさなければならない

偽陽性の発生確率を最小にする k の値は $k = \frac{m}{n} \log 2$

この時の偽陽性の発生確率の上界は $\frac{1}{2}^k \approx 0.6185^{\frac{m}{n}}$



モチベーション

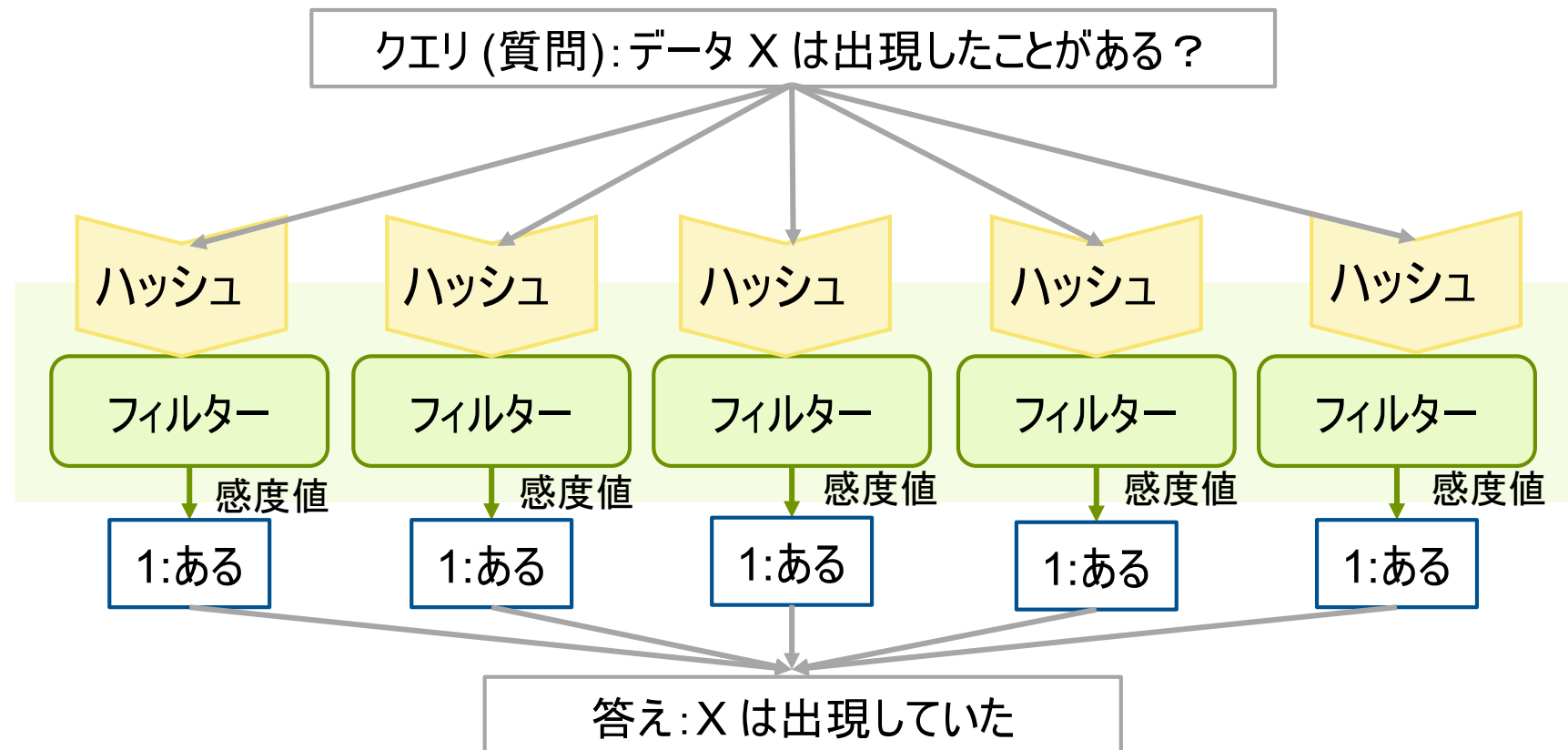
- ブルームフィルタの空間計算量: $O(n)$
 - n の値は非常に大きい (ビッグデータ)
 - ハッシュサイズ M を大きくする必要がある

	ブルームフィルター	モチベーション
空間計算量: M	$M > n$	$M \ll n$

提案法

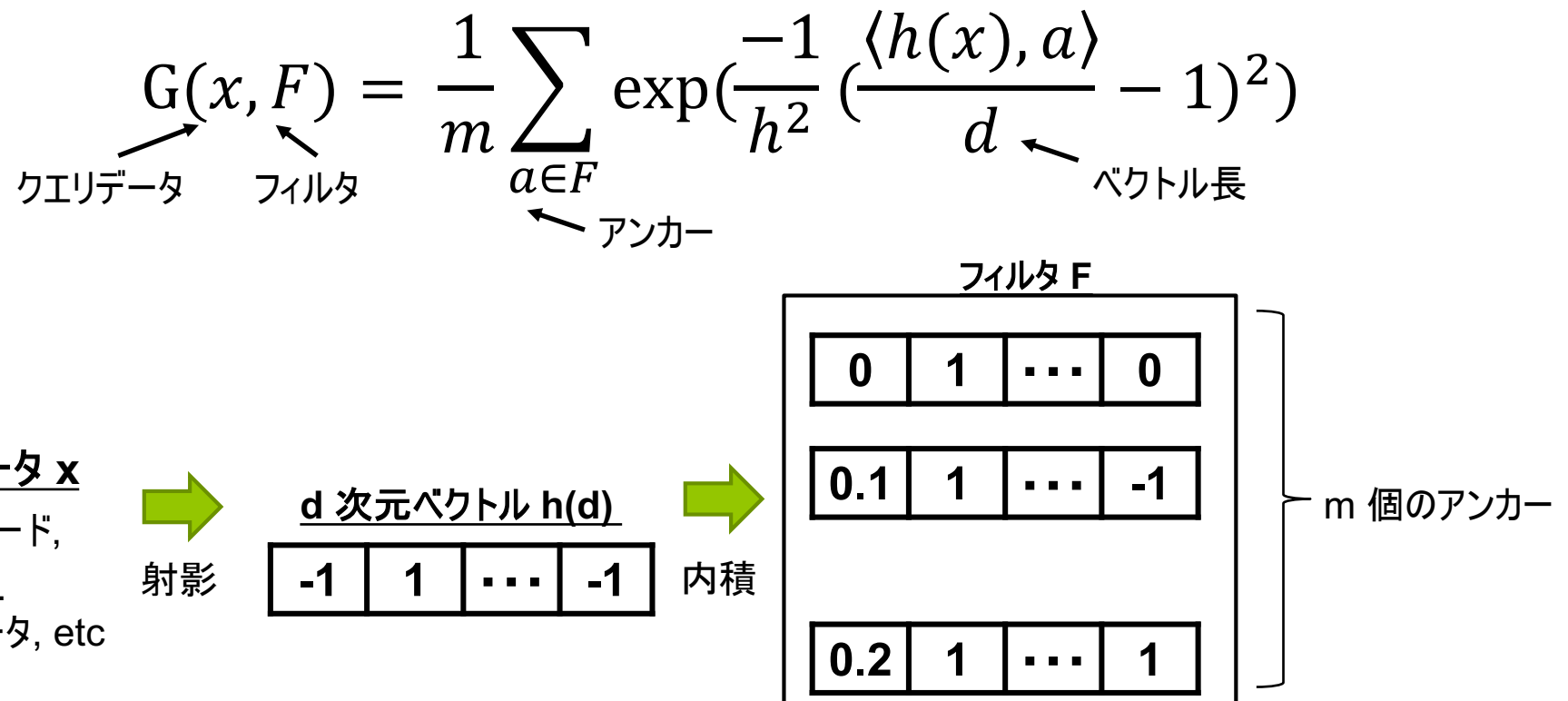
Compressed Hashing に基づくフィルター + アンサンブル法

- ・ プロジェクションに基づく省メモリ型の近傍探索法 [CVMR2011]
- ・ 理論的な空間計算量は $O(\log n)$



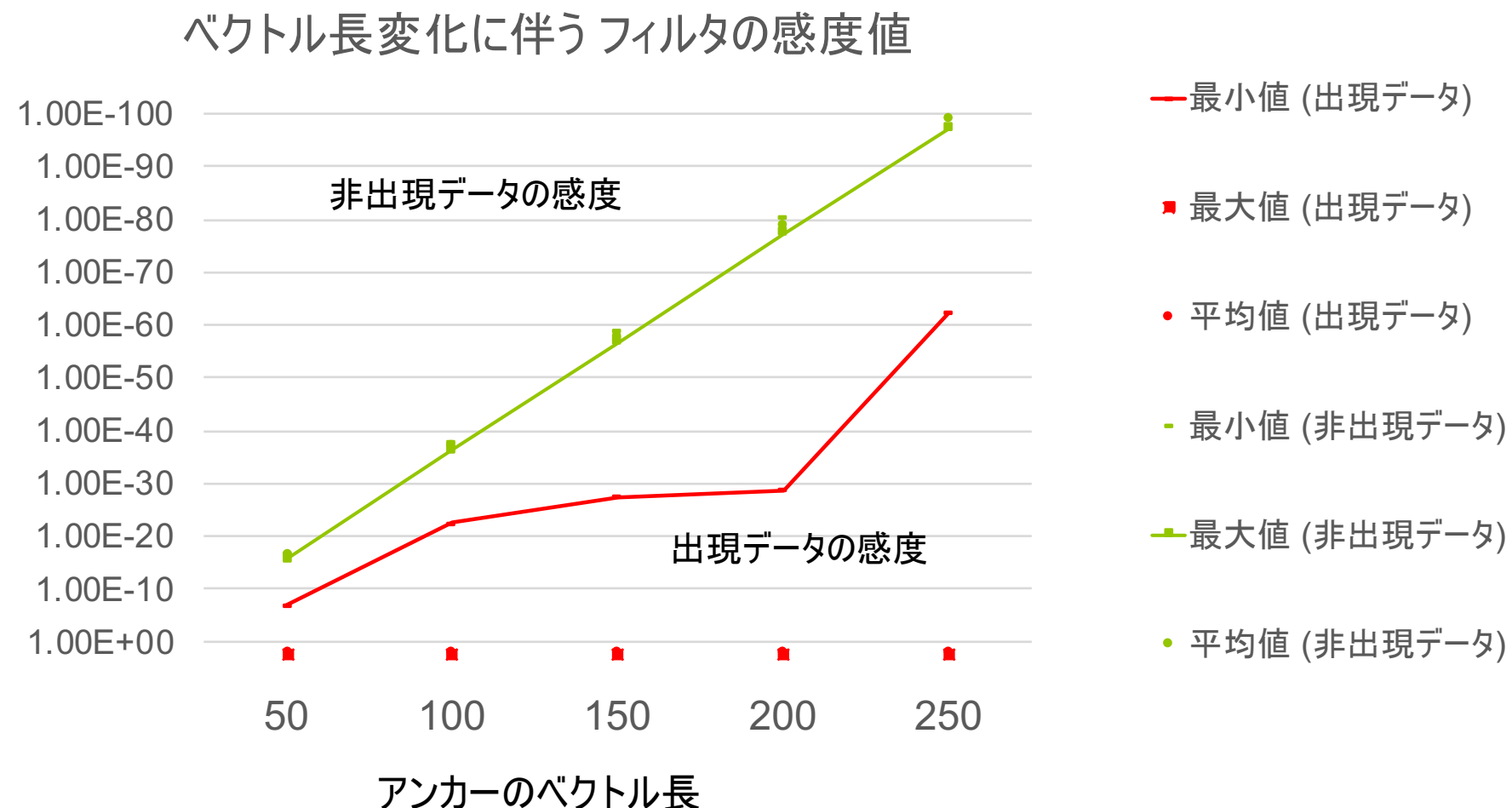
Compressed Hashing に基づくフィルタ

- 一様かつ独立なハッシュ関数によるプロジェクション
- 射影ベクトルのクラスタリング（クラスタ中心をアンカーと呼ぶ）
- クエリデータのメンバーシップは下式の感度値から判定する



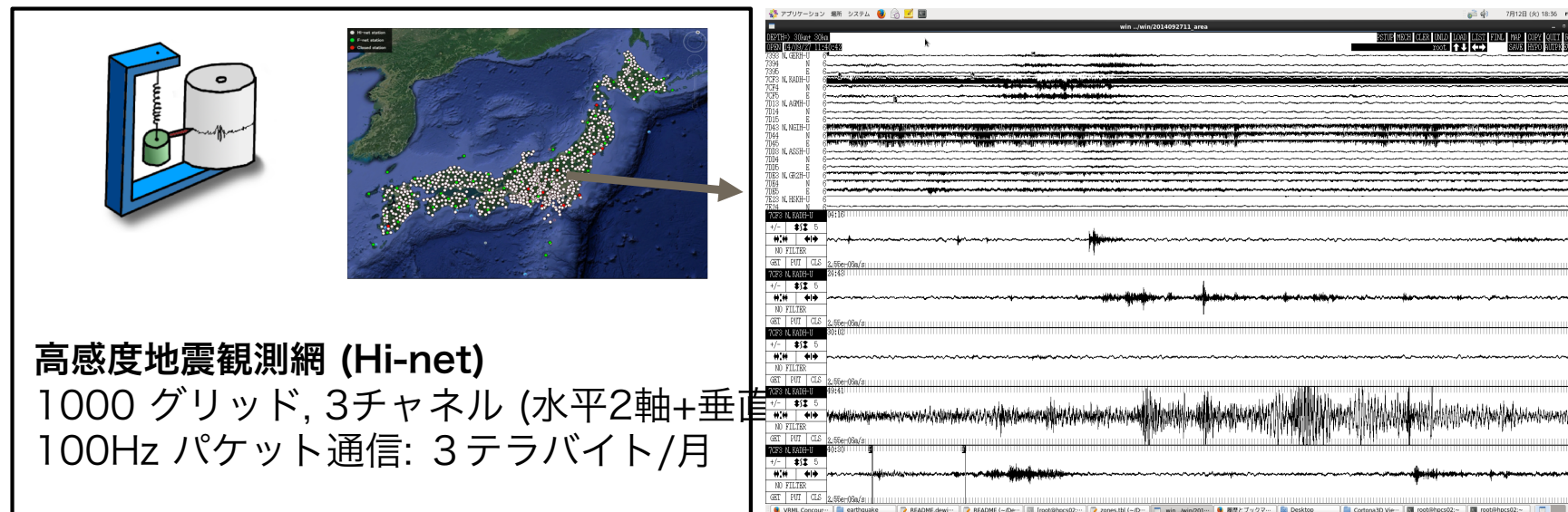
予備実験

- ・時系列データ(18,000点)をフィルタに登録
- ・出現データと非出現データに対する感度値差を計算



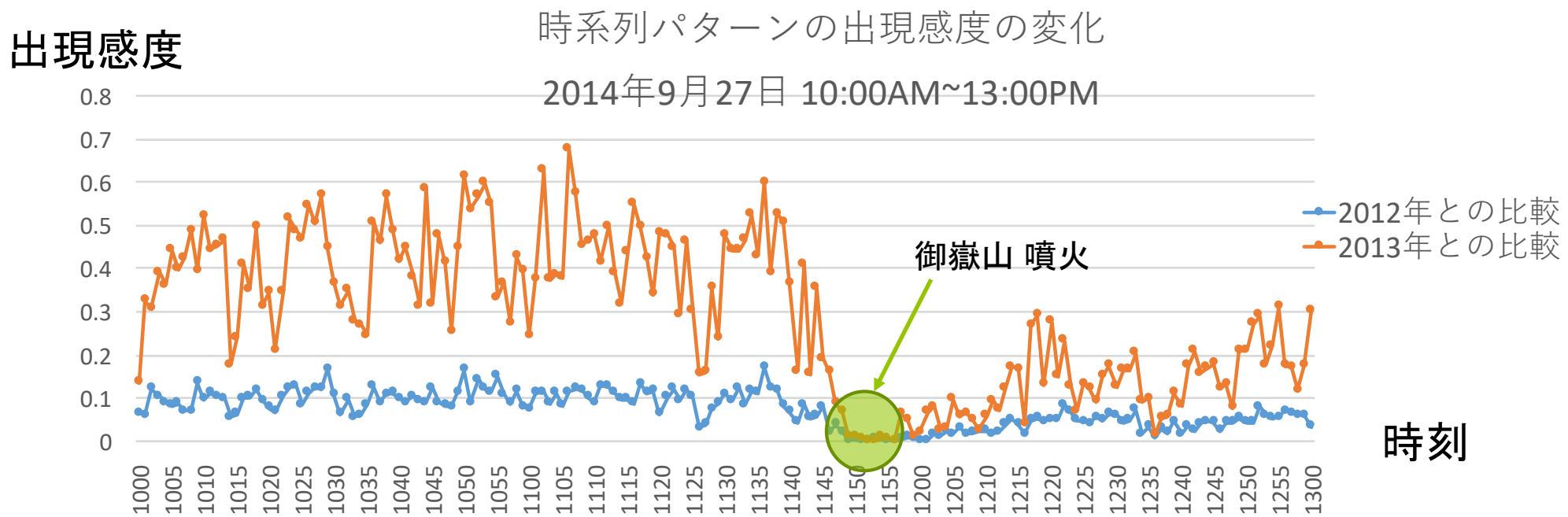
時系列データの傾向変化検知

- 以前に出現したことのあるそうな時系列データかどうかの傾向変化をリアルタイム検知する
- 高感度地震観測網 開田観測点の地震計 (U成分) 60Hz データ
 - 2014年9月27日10:00AM – 13:00PMまでの分単位の時系列データ
 - 2012年, 2013年それぞれの同時間帯の時系列パターンとの比較



時系列データの傾向変化検知

- 以前に出現したことのあるそうな時系列データかどうかの傾向変化をリアルタイム検知する
- 高感度地震観測網 開田観測点の地震計(U成分) 60Hz データ
 - 2014年9月27日 10:00AM – 13:00PMまでの分単位の時系列データ
 - 2012年, 2013年それぞれの同時間帯の時系列パターンとの比較



発表のまとめ



- ストリームデータのオンライン要約法の紹介
 - 省メモリ型データサマリの構築
 - 確率的メンバーシップサマリ
- 時系列データの傾向変化のリアルタイム検知